
Šíření světelného signálu a vzhled objektů

Nulové částice.

Světočára a tečný vektor. Světočára nulové částice jako geometrická approximace k poli. Vlnoplocha, frekvence, vlnový vektor a vlnový 4-vektor. Přímost nulových paprsků, affinní parametrizace, význam škály vlnového 4-vektoru. Prostor počátečních podmínek částice.

Doplerův jev a aberace.

Speciální Doplerův jev - geometrické odvození a rozklad vlnového 4-vektoru. Obecný Doplerův jev a aberace.

Vzhled objektů.

Relativistická změna rozměrů, retardace světelného signálu, způsob zobrazování objektu. Pohybující se tyč, approximace krátké tyče. Deformace obrazu složitějších objektů - ukázky.

Nulové částice

Světová a těžej vektor

$$z(\alpha) \quad x^*(\alpha) \equiv x^*(z(\alpha))$$

$$k = \frac{Dz}{d\alpha} \quad l^* = \frac{dx^*}{d\alpha}$$

světelné (nulové) částice
= sítí maximální rychlosti

$$k^2 = k^* k^* g_{\mu\nu} = 0$$

obecně nemusí být průměr

$$\frac{d}{d\alpha} k^* = k^* \nabla_k k^* \neq 0$$

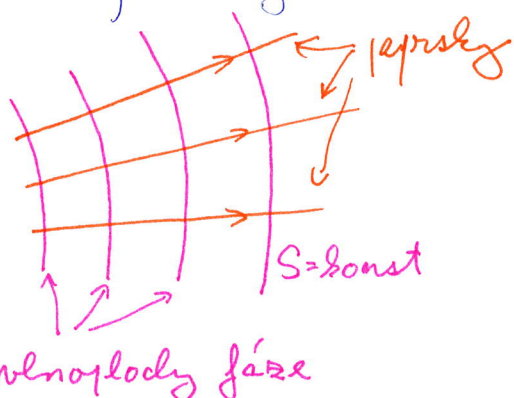
Nulové částice jako geometrické approximace pole
sítícího se rychlosti světla

- všechny nulové částice na klasickej úrovni jsou
realizovány jako geometrické approximace pole
pole je typicky charakterizované fází

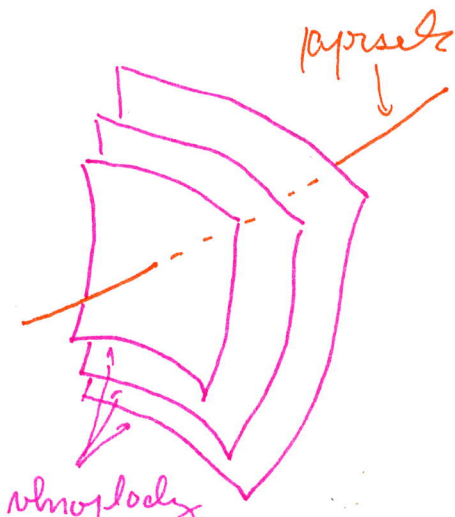
$$\text{pole} \sim e^{iS} \quad S \text{ fáze}$$

prostorový diagram

2D:



3D:



vlnová délka λ - vzdálenost mezi stupy $\Delta S = 2\pi$
perioda T - čas mezi stupy $\Delta S = 2\pi$

Ulnoplocha v blízkosti zvoleného bodu

$$S(t, \vec{r}) = S(t_0, \vec{r}_0) + \Delta t \frac{\partial S}{\partial t}(t_0, \vec{r}_0) + \vec{k} \cdot \vec{\nabla} S(t_0, \vec{r}_0)$$

$$= S_0 - \omega \Delta t + \vec{k} \cdot \vec{\delta r}$$

$$\omega = - \frac{\partial S}{\partial t} \quad \text{ulová frekvence} \quad \omega = \frac{2\pi}{T}$$

$$\vec{k} = \vec{\nabla} S \quad \text{ulnový (z-)vektor} \quad k = |\vec{k}| = \frac{2\pi}{\lambda}$$

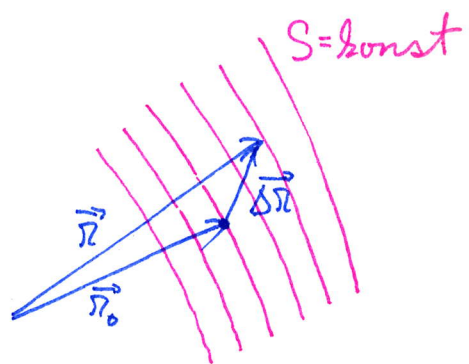
ulnoplocha $S = S_0 = \text{konst}$

$$-\omega \Delta t + \vec{k} \cdot \vec{\delta r} = 0$$

pro $\Delta t = 0 \Rightarrow \vec{k} \cdot \vec{\delta r} = 0$

plocha kolma k ulnovému vektoru \vec{k}

$\Rightarrow \vec{k}$ je směr jasrska



světelná rychlosť píření

posun ve směru jasrska rychlosť c

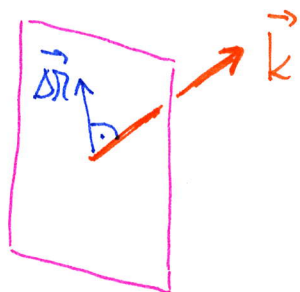
$$\vec{k} = k \vec{e}_{\parallel} \quad \vec{\delta r} = c \Delta t \vec{e}_{\parallel}$$

stejná ulnoplocha \Rightarrow

$$-\omega \Delta t + k c \Delta t = 0 \quad \Rightarrow \quad \frac{\omega}{c} = k$$

ulnová (triviale) disperzní relace

$$\frac{\omega}{c} = k \quad \text{tj.} \quad \omega^2 = c^2 \vec{k}^2$$



Prostorocasový řešení
4-průvodce $\star = \begin{bmatrix} ct \\ \vec{x} \end{bmatrix}$

$$S(t, \vec{x}) = S(\star) = S(x^r)$$

vlnoplocha blízko bodu \star_0

$$S(\star) = S(\star_0) + \Delta\star \cdot \nabla S(\star_0) + \dots = S(\star_0) + \Delta x^r \nabla_r S(\star_0) + \dots$$

$$= S_0 + k_p \Delta x^r + \dots$$

vlnový 4-vektor

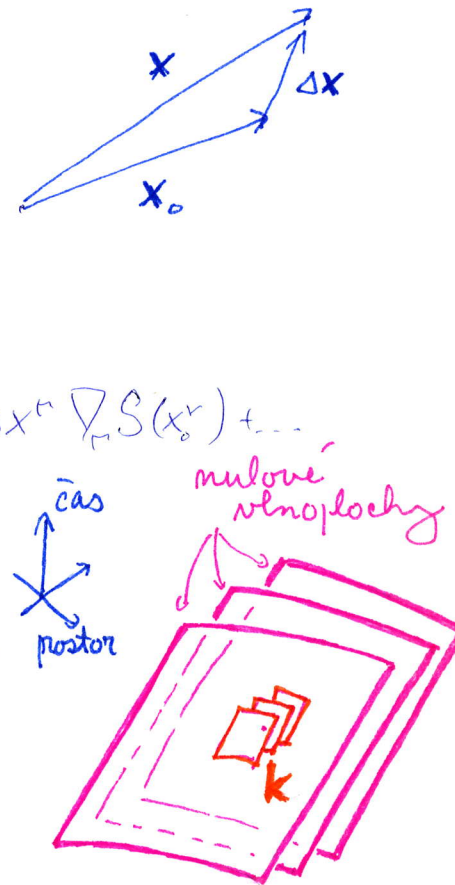
$$k_n = \nabla_r S = \left[\frac{\partial S}{\partial t}, \vec{\nabla} S \right] = \left[-\frac{\omega}{c}, \vec{k} \right]$$

$$\vec{k}^r = \gamma^{rr} k_r = \left[\frac{\omega}{c}, \vec{k} \right]$$

(pseudo) velikost k

$$\vec{k}^r \vec{k}^s \gamma_{rs} = -\frac{\omega^2}{c^2} + \vec{k}^2 = 0 \Rightarrow k \text{ nulový}$$

rychlosť súrenia c



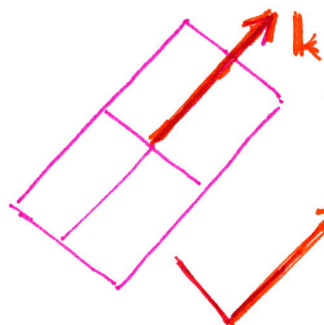
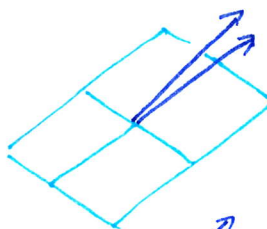
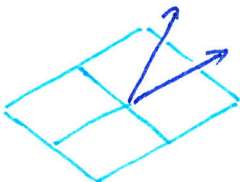
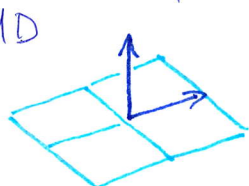
nulové normála

jak vypadá 4-vektor kolmý k nulové ploše?
jak vypadá 3-placha kolmá k nulovému vektoru?

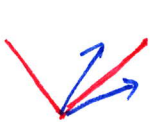
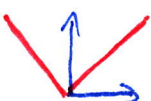
$$k_r \Delta x^r = 0$$

$$\vec{k}^2 = 0$$

2+1D



1+1D



\vec{k} je kolmý sám k sobě

vektory \star kolmé k \vec{k} tvorí nulovou vlnoplochu

$$\vec{k}^r \vec{k}^s \gamma_{rs} = 0$$

Přímota nulových paprsků

pokud je k^r démo geometrickou approximaci a nulové

$$k = \nabla S \quad k^2 = 0$$

je paprsek průměr

$$\frac{d}{dx} k = 0$$

všetku:

$$\frac{d}{dx} k_s = k^r \nabla_r k_s = k^r \nabla_r \nabla_s S = k^r \nabla_s \nabla_r S = k^r \nabla_s (\eta_{rs} k^r) = \frac{1}{2} \nabla_s (k^r k^r \eta_{rs}) = 0$$

a takovém případě říkáme, že světována je afimě parametrizovaná

volnost v afimě parametrizaci:

nový parametr $\tilde{\alpha}$ $\alpha = \alpha(\tilde{\alpha})$

$\tilde{k} = k$ jen nulové a určuje průměr

$\tilde{\alpha} = \alpha$ jen afimě parametrizace

$$\tilde{k} = \frac{Dw}{d\tilde{\alpha}} = \frac{d\alpha}{d\tilde{\alpha}} \frac{Dw}{d\alpha} = \frac{d\alpha}{d\tilde{\alpha}} k$$

Změna parametru mění jen skálu k

$$0 = \frac{d}{d\tilde{\alpha}} \tilde{k} = \tilde{k} \nabla_r k^r = \frac{d\alpha}{d\tilde{\alpha}} k^r \nabla_r \left(\frac{d\alpha}{d\tilde{\alpha}} k^r \right) = \left(\frac{d\alpha}{d\tilde{\alpha}} \right)^2 \underbrace{k^r \nabla_r k^r}_{\frac{d}{d\tilde{\alpha}} k^r = 0} + \frac{d^2\alpha}{d\tilde{\alpha}^2} k^r$$

$$\frac{d\alpha}{d\tilde{\alpha}^2} = 0 \quad \Rightarrow \quad \alpha = A\tilde{\alpha} + B$$

poze lineární transf.

Změna afimního parametru poze překlaje

vnový 4-vektor konstantní faktorem

$$\tilde{k} = A k$$

Význam škály vlnového 4-vektoru

- nelze zvolit výjimečnou affiní parametrizaci
- světová řada s různou affiní parametrizací popisuje vlnové částice probíhající stejnou trajektorií ale mající jinou "kvalitu"

"kvalita":

kinematicky = "barva" částice

$$\mathbf{k} = \begin{bmatrix} \omega \\ \vec{c} \end{bmatrix} \quad \text{přeskakování mezi frekvencemi } \omega$$

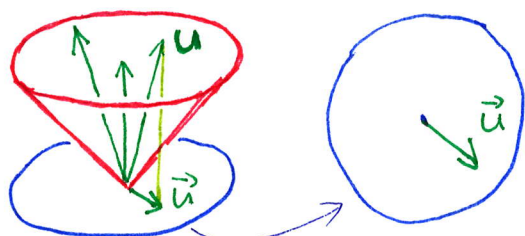
různé řely = různé frekvence = různá barva

dynamicky = "hybnost" částice
viz dle $(\mathbf{p} = \pm \mathbf{k})$

Prostor počátečních podmínek pohybu částice

- fixujeme počátek a délku
- jak specifikovat "rychlost"?

hmotné částice



invariantní:

4-rychlost \mathbf{u}

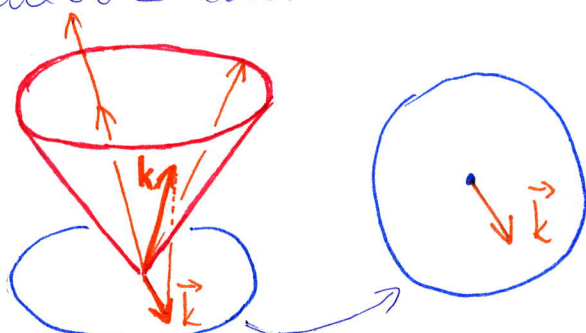
něj soustavě

$$\mathbf{u} = \begin{bmatrix} u^0 \\ \vec{u} \end{bmatrix} = \begin{bmatrix} \gamma c \\ \gamma \vec{v} \end{bmatrix}$$

\vec{v} libovolný 3-vektor

\vec{v} 3-vektor splňující $v < c$

vlnové částice



invariantní

vlnový 4-vektor \mathbf{k}

něj soustavě

$$\mathbf{k} = \begin{bmatrix} \omega \\ \vec{c} \end{bmatrix}$$

\vec{c} libovolný 3-vektor

= směr + barva

Doplerův jev a aberace

Speciální Doplerův jev

Zdroj z vysílé periodicky signál sítí se maximální rychlosť, který zachycuje pozorovatel P

Zdroj a pozorovatel se pohybují pouze v rovině $t-x$
= "speciální" Doplerův jev

perioda vysílaného signálu T_z

$$T_z \text{ tj. frekvence } \omega_z = \frac{2\pi}{T_z}$$

perioda přijímaného signálu T_p

$$\text{tj. frekvence } \omega_p = \frac{2\pi}{T_p}$$

latí (viz dříve)

$$\frac{T_p}{T_z} = e^{\beta}$$

výjádkem pomocí 3-rychlosti

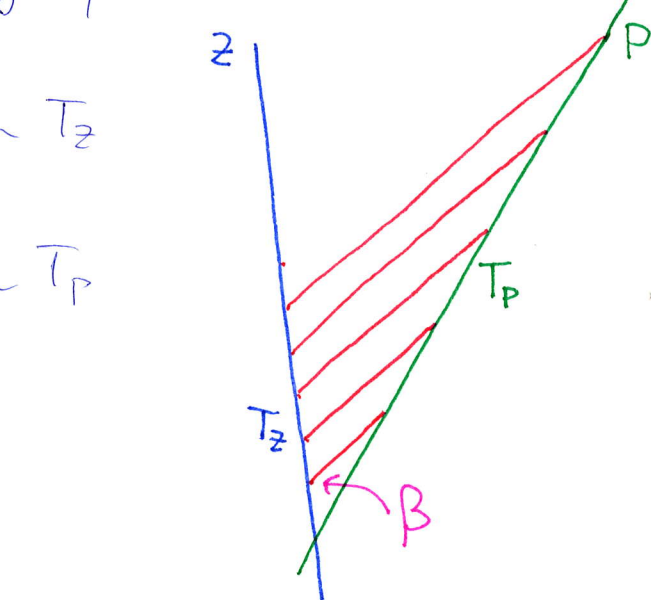
$$\frac{V}{C} = \operatorname{th} \beta$$

$$e^{\beta} = \operatorname{ch} \beta + \operatorname{sh} \beta = \operatorname{ch} \beta (1 + \operatorname{th} \beta) = \frac{1 + \frac{V}{C}}{\sqrt{1 - \frac{V^2}{C^2}}} = \sqrt{\frac{1 + \frac{V}{C}}{1 - \frac{V}{C}}} = \sqrt{\frac{C+V}{C-V}}$$

$$\frac{T_p}{T_z} = \sqrt{\frac{C+V}{C-V}} \quad \frac{\omega_p}{\omega_z} = \sqrt{\frac{C-V}{C+V}}$$

$V > 0$ P se vzdaluje od Z

$V < 0$ P se přibližuje k Z



ω_p je menší než ω_z

ω_p je větší než ω_z

Speciální Dopravní jev

odvození rozložení vlnového 4-vektoru

vlnový 4-vektor \mathbf{k} v soust. Z

$$\mathbf{k} = \frac{\omega_z}{c} \mathbf{n}_z + \vec{e}_{\parallel z} = \frac{\omega_z}{c} (\mathbf{n}_z + \mathbf{e}_{\parallel z})$$

vlnový 4-vektor \mathbf{k} v soust. P

$$\mathbf{k} = \frac{\omega_p}{c} \mathbf{n}_p + \vec{e}_{\parallel p} = \frac{\omega_p}{c} (\mathbf{n}_p + \mathbf{e}_{\parallel p})$$

Lorentzova transformace

$$\mathbf{n}_p = \operatorname{ch} \beta \mathbf{n}_z + \operatorname{sh} \beta \mathbf{e}_{\parallel z}$$

$$\mathbf{e}_{\parallel p} = \operatorname{sh} \beta \mathbf{n}_z + \operatorname{ch} \beta \mathbf{e}_{\parallel z}$$

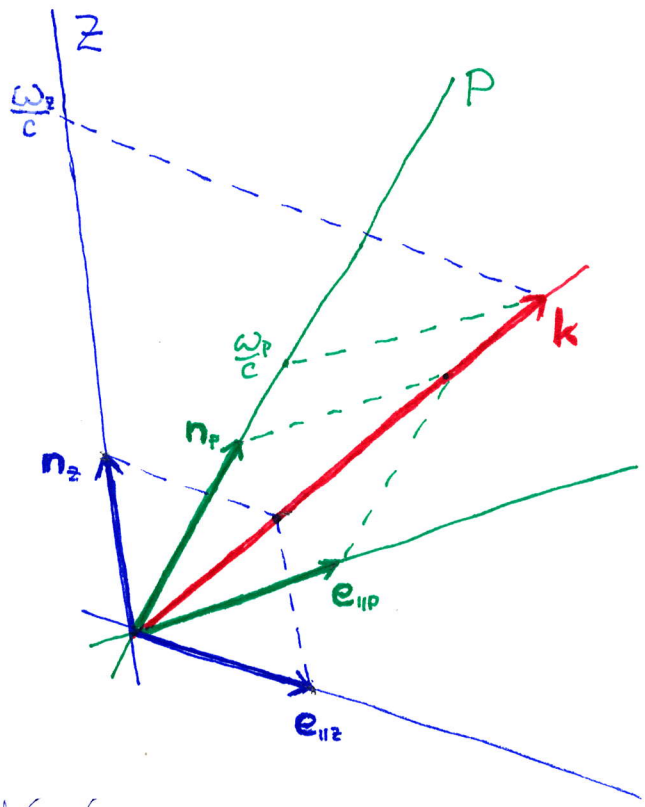
$$\begin{aligned} \mathbf{n}_p + \mathbf{e}_{\parallel p} &= (\operatorname{ch} \beta + \operatorname{sh} \beta) (\mathbf{n}_z + \mathbf{e}_{\parallel z}) \\ &= \exp \beta \cdot (\mathbf{n}_z + \mathbf{e}_{\parallel z}) \end{aligned}$$

porovnání vztahů pro \mathbf{k} dostávané

$$\omega_z = e^{\beta} \omega_p \quad \text{d.l.} \quad \frac{\omega_p}{\omega_z} = e^{-\beta}$$

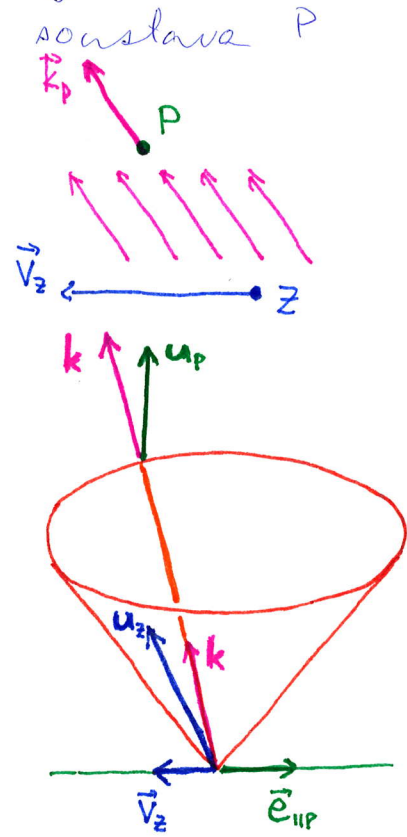
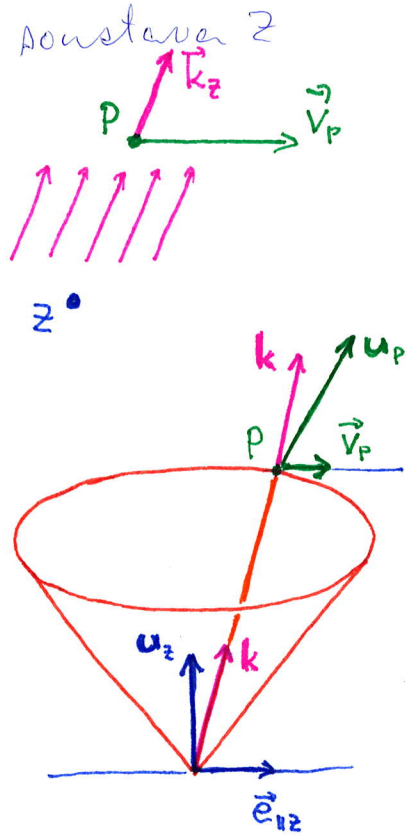
Nyní odberem pomocí rychlosti v - nás předchozí straně ↓

$$\frac{\omega_p}{\omega_z} = \sqrt{\frac{c-v}{c+v}}$$



Obecný Dopplerův jev a aberace

- zdroj z vysílá nálož signál o dané frekvenci ω_2
- pozorovatel P ho přijímá o frekvenci ω_P
- pohyb Z a P není korelovaný se směrem signálu



(rozdvojený diagram)

(rozdvojený diagram)

Dopplerův jev:

rozdíl interpretace vlnového 4-vektoru k
v soustavě sítě Z a soustavě pozorovatele P

$$k = \begin{bmatrix} \omega_2 \\ c \\ \vec{k}_z \end{bmatrix}_{\text{soustava Z}}$$

$$k = \begin{bmatrix} \omega_P \\ c \\ \vec{k}_P \end{bmatrix}_{\text{soustava P}}$$

Aberace

rozdíl ve směru vlnového 3-vektoru v soustavě Z a P

$$\theta_z = \gamma(\vec{k}_z, \vec{e}_{\parallel z})$$

zde $\vec{e}_{\parallel z}$ je směr rychlosti P
v soustavě Z

$$\vec{V}_p = V \vec{e}_{\parallel z}$$

$$\theta_P = \gamma(\vec{k}_P, \vec{e}_{\parallel P})$$

zde $\vec{e}_{\parallel P}$ je směr rychlosti Z
v soustavě P

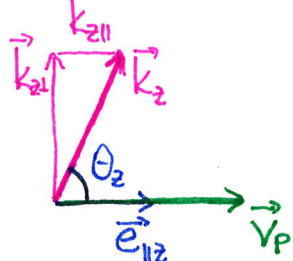
$$\vec{V}_Z = -V \vec{e}_{\parallel P}$$

rozklad vlnového 3-vetorů do

$$\vec{E}_z = k_{z\parallel} \vec{e}_{\parallel z} + \vec{k}_{z\perp}$$

$$k_{z\parallel} = k_z \cos \theta_z$$

$$|\vec{k}_{z\perp}| = k_z \sin \theta_z$$

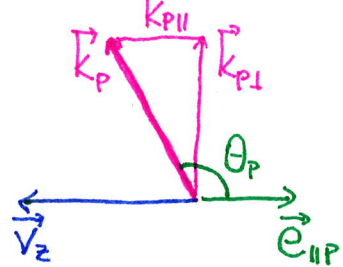


$$k_z = \frac{\omega_z}{c}$$

$$\vec{k}_p = k_{p\parallel} \vec{e}_{\parallel p} + \vec{k}_{p\perp}$$

$$k_{p\parallel} = k_p \cos \theta_p$$

$$|\vec{k}_{p\perp}| = k_p \sin \theta_p$$



$$k_p = \frac{\omega_p}{c}$$

Lorentzova transformace $Z \rightarrow P$

$$\begin{bmatrix} \frac{\omega_p}{c} \\ k_{p\parallel} \\ \vec{k}_{p\perp} \end{bmatrix}_P = \begin{bmatrix} \text{ch}\beta & -\text{sh}\beta & 0 \\ -\text{sh}\beta & \text{ch}\beta & 0 \\ 0 & 0 & I_1 \end{bmatrix} \cdot \begin{bmatrix} \frac{\omega_z}{c} \\ k_{z\parallel} \\ \vec{k}_{z\perp} \end{bmatrix}_Z = \begin{bmatrix} \frac{\omega_z}{c} \text{ch}\beta - k_{z\parallel} \text{sh}\beta \\ -\frac{\omega_z}{c} \text{sh}\beta + k_{z\parallel} \text{ch}\beta \\ \vec{k}_{z\perp} \end{bmatrix}$$

$$\underline{L}^{\alpha^1} = \underline{L}^{\alpha^1} \beta \quad k^{\beta}$$

↓

$$\omega_p = \omega_z \text{ch}\beta - \omega_z \text{sh}\beta \cos \theta_z = \omega_z \gamma (1 - \frac{v}{c} \cos \theta_z)$$

$$\omega_p \cos \theta_p = -\omega_z \text{sh}\beta + \omega_z \text{ch}\beta \cos \theta_z = \omega_z \gamma (\cos \theta_z - \frac{v}{c})$$

$$\omega_p \sin \theta_p = \omega_z \sin \theta_z$$

↓

$$\frac{\omega_p}{\omega_z} = \gamma (1 - \frac{v}{c} \cos \theta_z)$$

obecný Doplerův jev

$$\cos \theta_p = \frac{\cos \theta_z - \frac{v}{c}}{1 - \frac{v}{c} \cos \theta_z}$$

aberrace

$$\sin \theta_p = \frac{\sin \theta_z}{\gamma (1 - \frac{v}{c} \cos \theta_z)}$$

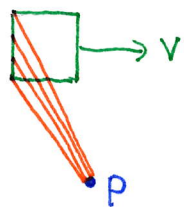
Vzhled objektů

brace noli:

- relativistické změny rozměrů
- retardace světelného signálu
- způsob zobrazování objektů
 - promítání na stímkou (rovina, sféra)
 - 3D model v soustavě pozorovatele
 - etc.

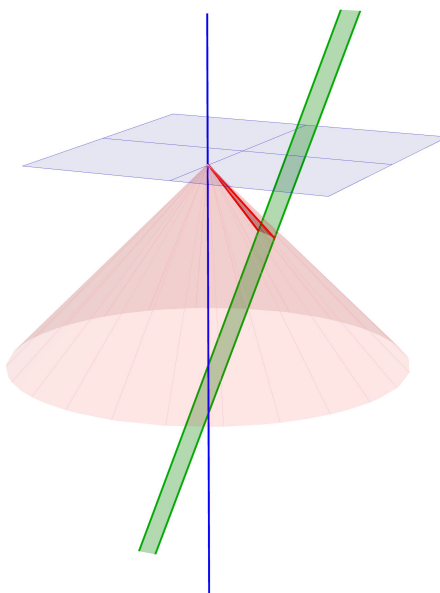
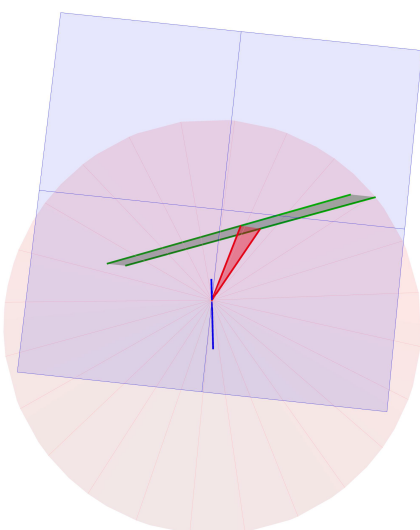
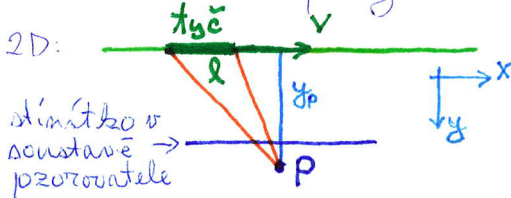
plné řešení

- rozborání paprsků z udalosti
- pozorování pohybu tělesu
- \Rightarrow efekt vidění tělesa v různých časech
- \Rightarrow možnost vidění "odvrácených" částí tělesa

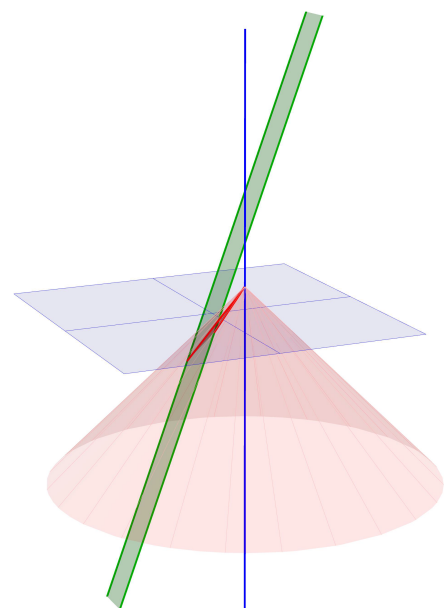


příklad

pohybující se tyč orientovaná ve směru pohybu

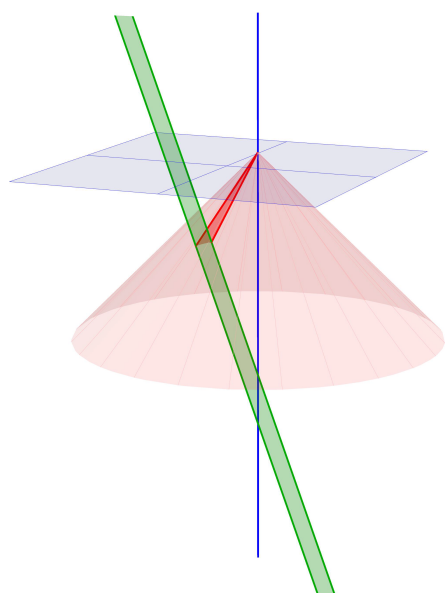


efekt retardace: pohyb, který vidíme byl vysíláván



pozorování odvrácené strany

- tyč kolmá na pohyb
- lze vidět stranu tyče, která je v okamžiku vysílání paprsků nejdálējší od pozorovatele



pohyb požáru v soustavě pozorovatele

$$P(t) = \begin{bmatrix} ct \\ 0 \\ y_p \end{bmatrix} \quad Z(t) = \begin{bmatrix} ct \\ vt + x_T \\ 0 \end{bmatrix}$$

t nemí vlastní čas tyče
 x_T vybraný bod v tyči
 $x_T \in (x_-, x_+)$

pohybující se tyče

celkové délka l

$$\text{délka v soustavě pozorovatele } l_p = x_+ - x_- = \frac{l}{\gamma} = l\sqrt{1 - \frac{v^2}{c^2}}$$

retardovaný čas vysílání signálu

$t_{\text{ret}}(t, x_T)$ - čas vysílání signálu z bodu tyče x_T tak aby k pozorovateli dorazil v čase t

$$(Z(t_{\text{ret}}) - P(+))^2 = 0 \quad \leftarrow \text{podmínka světelného signálu}$$

$$-c^2(t_{\text{ret}} - t)^2 + (vt_{\text{ret}} + x_T)^2 + y_p^2 = 0$$

$$\Downarrow (1 - \frac{v^2}{c^2})t_{\text{ret}}^2 - 2(t + \frac{vx_T}{c^2})t_{\text{ret}} + t^2 - \frac{x_T^2 + y_p^2}{c^2} = 0$$

$$\Downarrow t_{\text{ret}} = \frac{1}{1 - \frac{v^2}{c^2}} \left(t + \frac{vx_T}{c^2} - \sqrt{\left(t + \frac{vx_T}{c^2} \right)^2 - (1 - \frac{v^2}{c^2})(t^2 - \frac{x_T^2 + y_p^2}{c^2})} \right)$$

$$= \gamma^2 \left(t + \frac{vx_T}{c^2} - \sqrt{\frac{1}{c^2} \left(t^2 + \frac{v^2 x_T^2}{c^2} + (1 - \frac{v^2}{c^2}) \frac{y_p^2}{c^2} \right)} \right)$$

retardované řešení \Rightarrow momentální "u-u"

zadanou délku tyče pozorována ve znolený čas t

$$\bar{l} = x(t_{\text{ret}+}) - x(t_{\text{ret}-}) = x(t_{\text{ret}}(t, x_+)) - x(t_{\text{ret}}(t, x_-))$$

$$= (vt_{\text{ret}+} + x_+) - (vt_{\text{ret}-} + x_-) = v(t_{\text{ret}+} - t_{\text{ret}-}) + \frac{l}{\gamma}$$

approximace krátké tyče

$l \ll c t_{\text{ret}}$ tj. $x_{\pm} \ll c t_{\text{ret}}$

$$t_{\text{ret}+} - t_{\text{ret}-} \approx \left. \frac{\partial t_{\text{ret}}}{\partial x_T} \right|_{x_T=0} (x_+ - x_-) = \gamma^2 \left(\frac{v}{c^2} - \frac{\frac{t}{c}}{\sqrt{\left(\frac{t}{c}\right)^2 + (1 - \frac{v^2}{c^2}) \frac{y_p^2}{c^2}}} \right) \frac{l}{\gamma}$$

$$\bar{l} \approx \gamma^2 \frac{v^2}{c^2} \left(1 - \frac{t}{\sqrt{\left(\frac{t}{c}\right)^2 + (1 - \frac{v^2}{c^2}) \frac{y_p^2}{c^2}}} \right) \frac{l}{\gamma} + \frac{l}{\gamma} = l \gamma \left(1 - \frac{v^2}{c^2} \frac{t}{\sqrt{\left(\frac{t}{c}\right)^2 + (1 - \frac{v^2}{c^2}) \frac{y_p^2}{c^2}}} \right)$$

$$= l \gamma \left[1 \mp \frac{v}{c} \left(1 + (1 - \frac{v^2}{c^2}) \frac{y_p^2}{c^2} \right)^{-\frac{1}{2}} \right] \quad \leftarrow \text{zmomenko} \begin{cases} \mp & \text{pro } t > 0 \\ + & \text{pro } t < 0 \end{cases}$$

approximace velkých časů

$$\left(\frac{y_p}{vt} \right)^2 \ll 1 \Rightarrow \bar{l} = l \gamma \left(1 \mp \frac{v}{c} \right) = \begin{cases} l \sqrt{\frac{c-v}{c+v}} & \text{pro } t \rightarrow +\infty \\ l \sqrt{\frac{c+v}{c-v}} & \text{pro } t \rightarrow -\infty \end{cases} \quad \begin{cases} < l \sqrt{1 - \frac{v^2}{c^2}} & v > 0 \\ > l \sqrt{1 - \frac{v^2}{c^2}} & v < 0 \end{cases}$$

Image Shading Taking into Account Relativistic Effects

MENG-CHOU CHANG, FEIPEI LAI and WEI-CHAO CHEN
National Taiwan University

This article is concerned with creating more realistic images of 3D scenes which are moving relative to the viewer at such high speeds that the propagation delay of light signals and other relativistic effects can not be neglected. Creating images of 3D scenes in relativistic motion might have important applications to science-fiction films, computer games, and virtual environments. We shall discuss the following problems: (1) how to determine the visual appearance of a rapidly moving object, (2) how to determine the apparent radiance of a scene point on a moving object, (3) how to determine the incident irradiance at a scene point coming from a moving light source, (4) how to determine the color of a rapidly moving object, and (5) how to generate shadows when there are relative motions between the viewer, the scenes, and the light sources. Detailed examples are also given to show the result of shading with the relativistic effects taken into account.

Categories and Subject Descriptors: I.3.7 [Computer Graphics]: Three-Dimensional Graphics and Realism—color, shading, shadowing, and texture; J.2 [Computer Applications]: Physical Science and Engineering—physics

General Terms: Algorithms, Theory

Additional Key Words and Phrases: Aberration of light, Doppler effect, Lorentz transformation, shading, shadow, special relativity.

1. INTRODUCTION

In traditional computer graphics, an underlying assumption is that the speed of light is infinite or the speeds of the scenes relative to the viewer are very small compared to that of light so that the propagation delay of light signals and other relativistic effects can be neglected. For example, in some science-fiction movies and computer games, an object (e.g., a space ship) may move with a speed comparable to that of light, but nothing in its shape, brightness, color, or shadow shows the consequences of special relativity. Although we can not experience directly the fundamental phenomena that special relativity predicts, one would like to experience the

Authors' address: National Taiwan University, Department of Computer Science and Information Engineering, Taipei, Taiwan, R.O.C.

Permission to make digital/hard copy of part or all of this work for personal or classroom use is granted without fee provided that the copies are not made or distributed for profit or commercial advantage, the copyright notice, the title of the publication, and its date appear, and notice is given that copying is by permission of the ACM, Inc. To copy otherwise, to republish, to post on servers, or to redistribute to lists, requires prior specific permission and/or a fee.

© 1996 ACM 0730-0301/96/0100-0265 \$03.50

ACM Transactions on Graphics, Vol. 15, No. 4, October 1996, Pages 265–300.

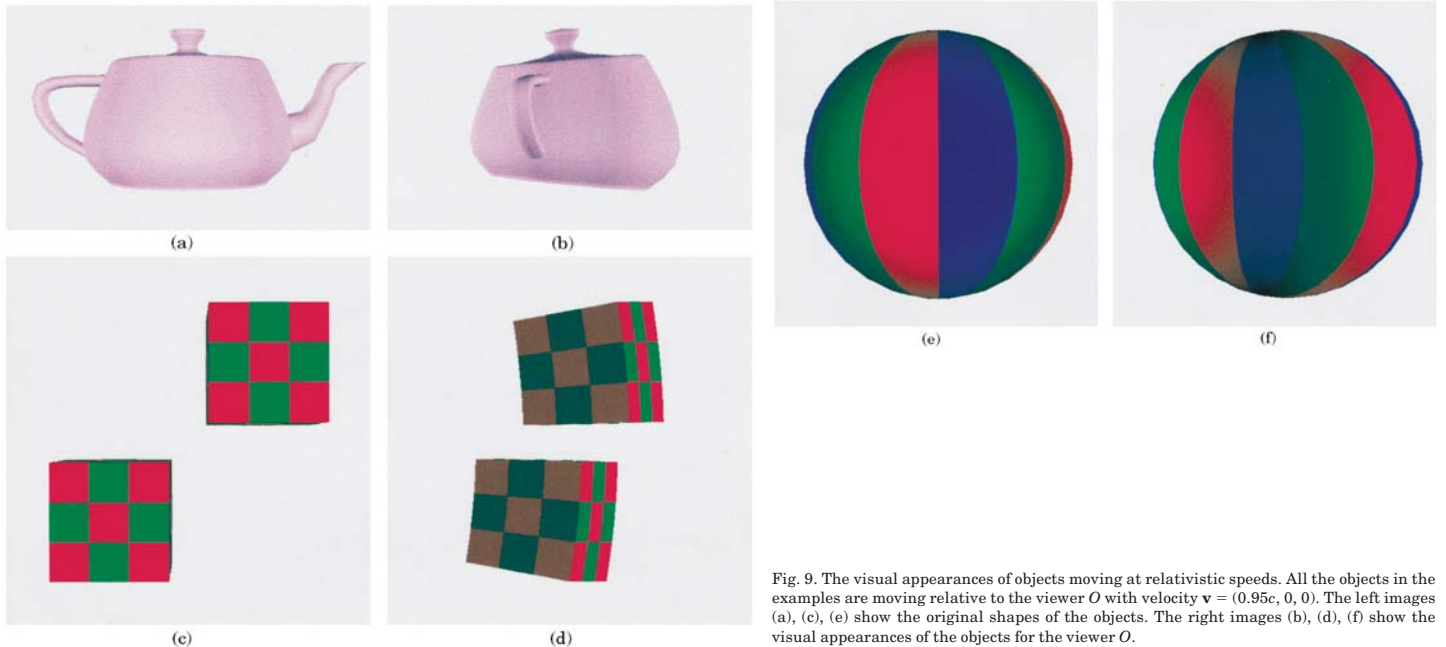


Fig. 9. The visual appearances of objects moving at relativistic speeds. All the objects in the examples are moving relative to the viewer O with velocity $v = (0.95c, 0, 0)$. The left images (a), (c), (e) show the original shapes of the objects. The right images (b), (d), (f) show the visual appearances of the objects for the viewer O .

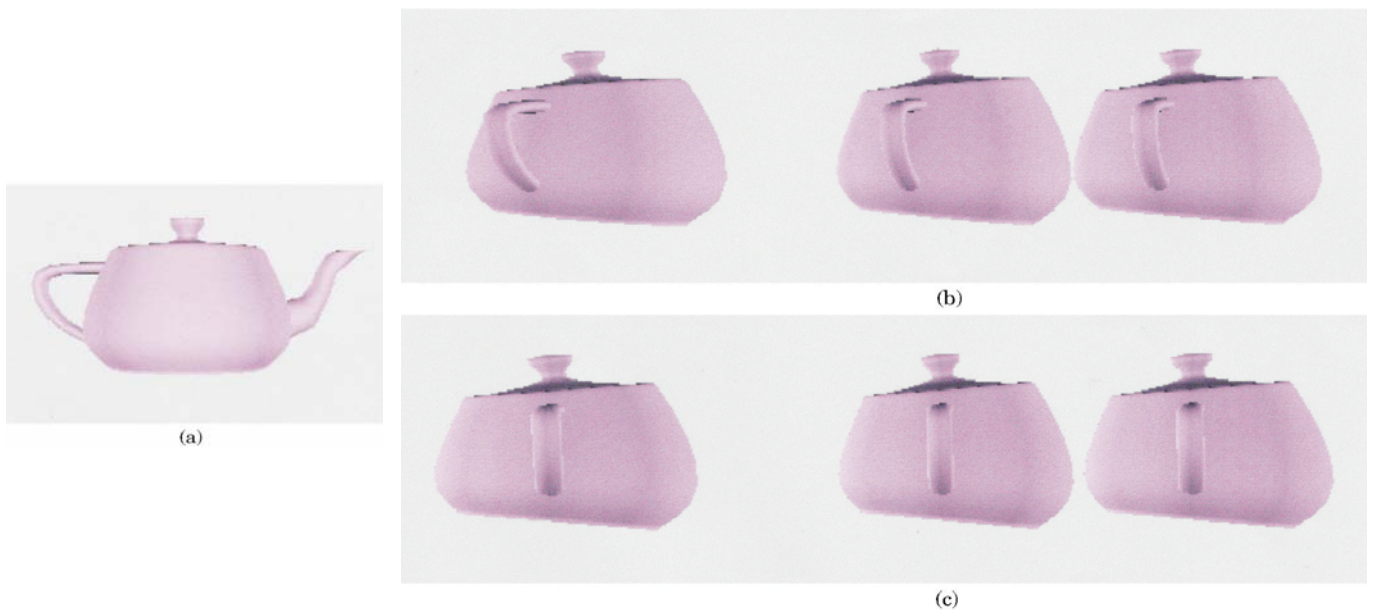


Fig. 10. Visual appearance of a moving teapot. (a) The teapot is still relative to the viewer. (b) The teapot is moving from the left to the right with a speed of $0.95c$. (c) The teapot is moving from the left to the right with a speed of $0.999c$.

ACM Transactions on Graphics 15 (1996) 265–300

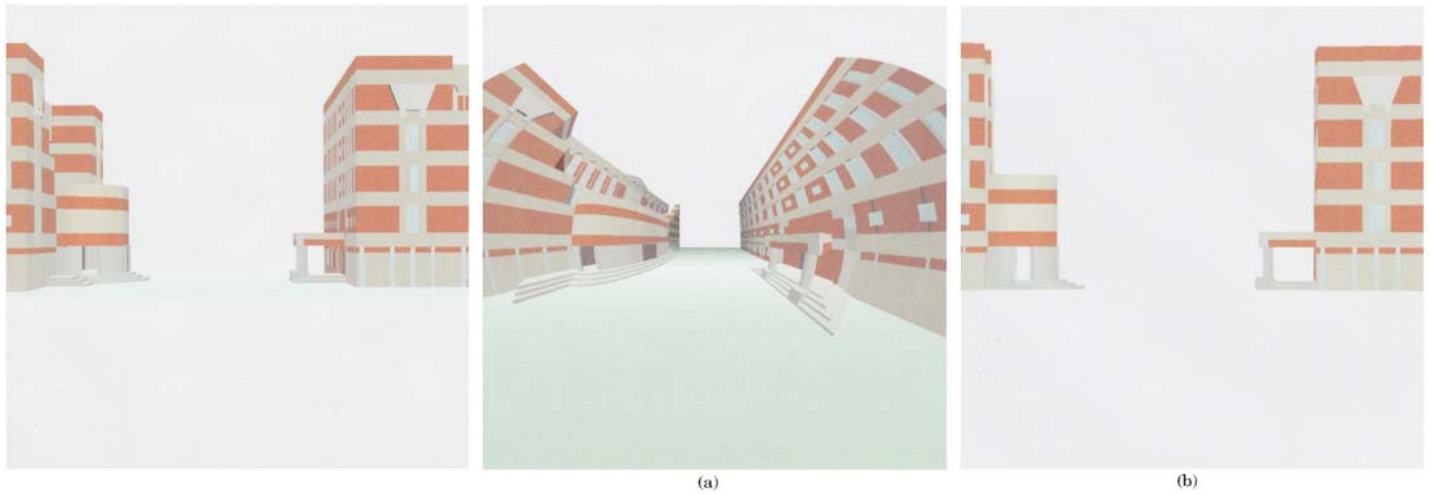


Fig. 11. Original appearance of the STREET.

Fig. 12. Apparent appearance of the STREET with respect to a moving viewer. (a) The viewer is rushing into the street with a speed of $0.99c$. (b) The viewer is rushing out of the street with a speed of $0.99c$.

ACM Transactions on Graphics 15 (1996) 265–300

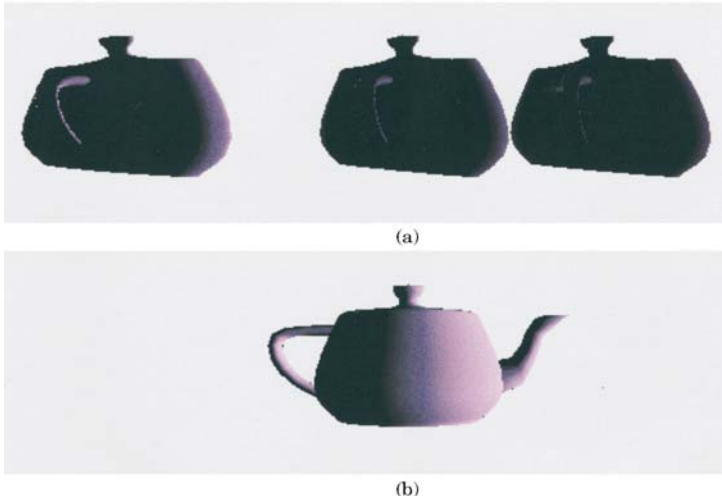


Fig. 15. Effects produced by the motion of light sources. (a) The teapot is moving relative to the viewer with a velocity of $(0.95c, 0, 0)$, and the light sources are at rest in the coordinate system of the viewer. (b) The light sources are moving relative to the teapot with a velocity of $(-0.95c, 0, 0)$, and the viewer is still relative to the teapot.



Fig. 17. Variation in color due to the Doppler effect. The teapot is moving from the left to the right with a speed of $0.5c$, and the light sources are at rest in the coordinate system of the teapot.

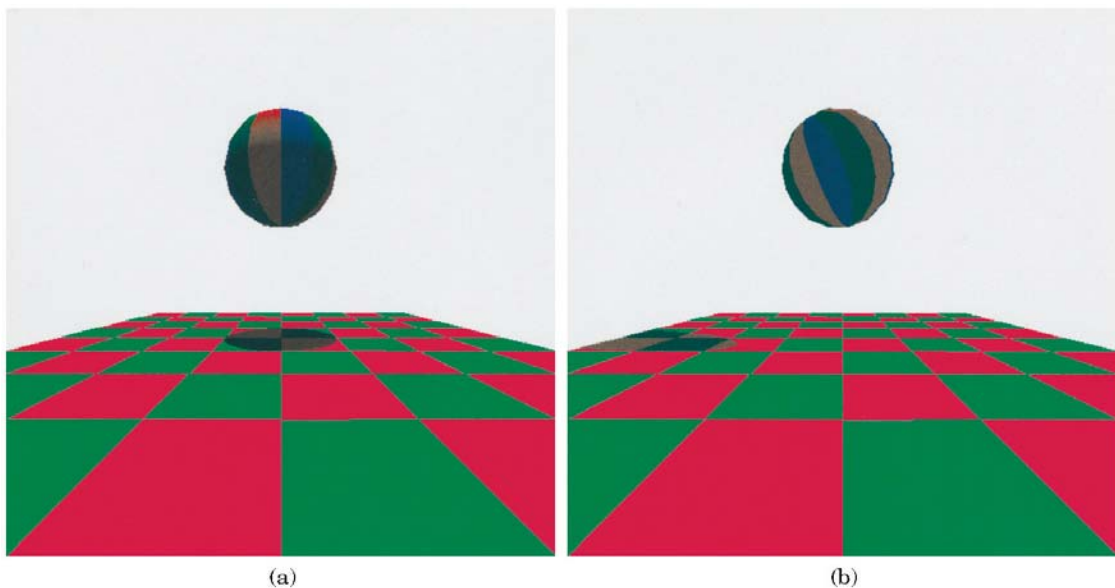


Fig. 18. Effect of generating shadows with the relativistic effects taken into account. (a) The sphere is still relative to the viewer. (b) The sphere is moving with a velocity of $(0.95c, 0, 0)$ with respect to the viewer.